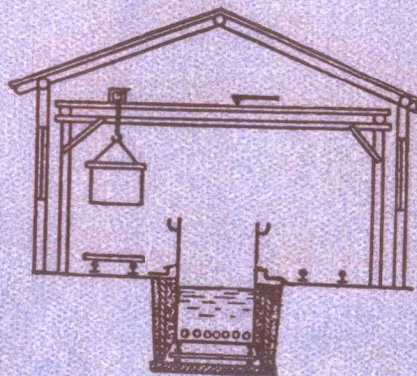


68831
260



И. Б. Соколов

木材快速干燥法

中国林業出版社

第一章

木材快速干燥的工艺特点

木材快速干燥工艺以应用高于普通干燥基准的温度为基础。当干燥介质(空气、气体、或液体)的温度高于100°时，干燥过程特别迅速。

木材干燥时的主要困难不是材料表面的水分蒸发，而是材料内部水分的蒸发。内部水分向表面移动时困难最大。因此，锯材的干燥延续时间不决定于水分蒸发的强度，而决定于水分从内部向表面移动的速度。

各种工业材种的干燥过程，通常是在木材内外层含水率落差很大而材料表面的含水率低于纤维饱和点的情况下进行的。

材料断面上的吸湿性含水率落差愈大，水分从内层向表面移动的速度也愈大，因而干燥过程也愈强。

材料中水分移动的强度决定于吸湿性含水率落差的大小。而绝对的含水率落差是没有意义的。譬如，材料中心和表面的含水率为100%与20%以及70%与20%的两种情况下，其干燥强度应该相同，因为中心部分的吸湿性含水率(纤维饱和点)和表面上的含水率(20%)之间的差异在上述两种情况下是相同的，即约为 $30 - 20 = 10\%$ 。

木材在干燥初期仅表层受到干缩而减小本身的尺寸，含水率高于30%的内层尚无变化。因此，在表层上引起了伸张应力，有产生表面裂纹的危险。如果干燥初期在材料内出现很大的残留的塑性变形，那么在干燥后半期将有发

生內裂(蜂窩裂)的危險。

為了加速干燥，固然可以增加被干材料厚度上的含水率落差，但是這種落差不應大於一定的限度，否則就有造成技術缺陷的危險。

這種含水率落差可由干燥基準調節到正常的状态，因為木材干燥時，空氣(氣體)的溫度 t 和相對濕度 φ 與被干木材的平衡含水率 W_p 之間存在着嚴格的相互關係。這種關係，可用平衡含水率圖表(圖1)來確定。在同樣條件下，木材吸濕時的平衡(穩定的)含水率 W_y 比木材干燥時的平衡含水率小2.5%。

$$W_y = W_p - 2.5\% \quad (1)$$

為了
不使木材
表面過于
干燥和避
免干燥時
發生技術
缺陷起
見，建議
用高溫高
濕的空氣
對材料進

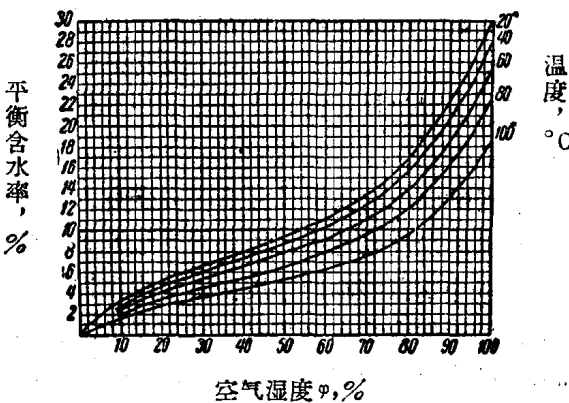


圖1. 木材平衡含水率圖表

行中間加濕處理。這種中間加濕處理可使材料厚度上的含水率落差減小，同時高溫可增加材料的塑性，並且由於材料斷面上存在有溫度差將會促進木材在以後時期內的加速干燥。

在材料斷面上含水率落差的影響下，材料內水分移動

的現象称为导水性。而在材料断面上温度差的影响下，材料内水分移动的現象称为热力导水性。在这两种現象中，水分的移动是从含水率高的地方向含水率低的地方和从温度高的層次向温度低的層次进行的。

热力导水性的效果充分被利用在高頻率电流 (ТВЧ) 电場的干燥中及各种規格的薄板單面接触加热干燥中。在环流干燥法中，为了利用热力导水性的效果，某些研究工作者建議采用断續式基准 (Оциллирующий Режим)。这种基准的实例已引录在本書第二章第二节中。

大量爐干木材时，为了强化干燥过程可以采用高温和高湿的干燥基准。

橫紋导水性系数的平均值 表1

树 种	不同温度时导水性系数的数值 ($\mu \cdot 10^6$ 平方厘米/秒)			
	0°	60°	80°	100°
山楊	2.4	16	28	45
云杉(边材)，椴木	1.9	14	23	40
松木(边材)	1.6	11	19	33
云杉(熟材)	1.2	9	16	29
松木(心材)	0.9	7	12	22
櫟木	0.8	5.8	10	17
山毛櫟	0.7	4.8	8.5	14
核桃木	0.55	4.2	6.3	12.5
落叶松、桦木	0.45	3.2	4.9	10.0
橡木	0.35	2.7	4.0	8.0

当温度升高时，水分的粘度即被减低，因而它沿着联结纹孔的细小穿孔及微细毛细管的移动也就比较容易。此外，胶体的毛细管多孔体——木材正是这样的物体——当温度升高时塑性增加，因而材料在干燥时发生开裂的危险就会减少。

为了说明和证实木材导水性随温度升高而增加的情况，在表1中列举出一些最普通的树种横纹导水性系数的平均值（表列数据系根据П.С.谢尔戈夫斯基的图表摘录）。

由表1可见，当升高温度时，例如，由60°升高至100°时，导水性系数约增加两倍。也就是说水分从木材内部向表面的移动比原来快2倍。这正是缩短干燥时间的先决条件。

使用温度高于100°C的木材干燥基准时，水分移动过程的本质在物理性质上发生了根本的变化。在这种情况下，水分发生流动的主要原因不是由于含水率落差的影响，而是由于提高了木材中蒸汽空气混合物的压力。此时，组成整个木材的细胞好像是无数细小的蒸汽锅炉，其中压力高于大气压。

由于木材内的蒸汽空气混合物有相当大的压力，结果使木材内部的水分（蒸汽及一部分液体）被激烈的挤到表面上来。这种情形就造成了加速干燥的效果。含水率大的木材在高频率电流电场中干燥时，上述现象将很容易的观察到。此时，通过木材端部有部分液体和蒸汽同时被挤压出来。当木材在高于100°的热液媒中干燥时，也有同样的现象发生。

因此，木材在温度高于100°的炉内干燥时，其干燥时间较之普通基准将缩短若干倍。但是，并非所有树种和任

何規格的成材都可以进行高温干燥而不發生缺陷。厚度40毫米以下的松木和云杉可以在温度低于 $115-120^{\circ}$ 的干燥爐中干燥，而不發生裂紋。厚度100毫米以上的松木方材，在高于 $105-110^{\circ}$ 的热液媒中干燥时就开始开裂。山毛櫟較能經受高温，在液媒中干燥时，温度可到 120° 。但是斷面不大的樺木毛坯（ 32×32 毫米的方木），在高于 110° 的温度下进行干燥时，即有內裂發生。至于橡木，它对高温更为敏感。譬如在液媒中干燥时，温度达 105° 就不能得到令人滿意的結果。任何規格的橡木在高温下干燥时都会發生很多的內裂。只有当其开始含水率在20%以下时才可能把温度提得較高而不發生裂紋。

同一种木材用高温基准干燥时（温度高于 100° ），其干縮量通常小于在室温条件下（温度 $15-20^{\circ}$ ）干燥的干縮量。例如，根据林业技术学院的研究，在 $110-120^{\circ}$ 的热液媒中干燥后的松木成材，其干縮量比通常約小 $1/2$ 。而闊叶树材的差別則沒有这样大。

因此，高温干燥的木材的容重比气干木材的容重略低。根据林业技术学院的研究資料，由同一塊松木或云杉鋸下来的試样，在石蜡油中干燥后的容重比在温度为 20° 的空气中干燥后的容重平均小7%。

高温干燥的木材，其机械性質指标比气干材略低。

其他条件相同时，不仅温度，而且温度作用于材料的时间也影响材料極限强度的降低。一般認為可以这样肯定：由高温作用所引起的木材强度的降低仅仅發生在开始的2—4天，过此以后，其降低即不显著。

表2中引录了松木和橡木受到長期（大于4天）高温作用后，縱压和勁曲極限强度降低的数据。

木材在長期高溫作用下極限強度降低的數值

(根據H.H.丘里茨基的資料)

表2

溫 度 (°C)	極限強度的降低 (%)			
	縱 壓		動 曲	
	松 木	橡 木	松 木	橡 木
80	-6	-5	+2	-12
100	-12	-10	0	-28
120	—	—	—	—
140	-24	—	-38	-65

根據C.H.阿布拉門科的數據，在高頻率電流電場中干燥時，在100°的溫度下，經24小時作用後，松木的縱壓極限強度降低5—6%。這與H.H.丘里茨基的結論“經過一天強度降低5—6%，而經過2—4天則降低12%”是完全一致的。

H.H.胡赫列斯基的研究結果，對於松木與表2中的數據是一致的。而對於橡木的試驗，所得到的強度降低的數值則很小。例如，濕橡木在93°的溫度下干燥七天，其抗壓極限強度僅降低3.3%，動曲極限強度降低4.4%。按丘里茨基的資料，溫度為100°時干燥後抗壓極限強度和動曲極限強度各降低10%和28%。

H.H.胡赫列斯基同時確定：松木在120°的溫度下處理後，縱壓極限強度降低20%。

列寧格勒林業技術學院的研究還說明了，在液媒中干燥時，木材受高溫(110°—120°)作用後其強度被降低

(見第三章)。在很多生产實踐中，强度的这种降低并不重要，因为，木材的实际負荷常較木材的極限强度要小許多倍。但是，在某些情況下(工程建筑、飞机制造等)必須考慮到高温对木材强度的有害影响，因此并建議干燥时采用如下的温度：針叶材不高于 90° ，闊叶材不超过 70 — 80° 。

第二章

木材快速爐干法

第一节 快速干燥需要的条件

提高現有的自然循环干燥爐的生产率，可依靠下面两个办法：

第一：改建現有的干燥爐成为横向快速循环的干燥爐。

第二：应用能保証干燥介質高湿度的高温干燥基准。

与自然循环比較，空气的横向快速可逆循环，可提高干燥爐的容量近40% (由于材料的堆积不留空隙)。在自然循环干燥爐內，木堆寬度上的充实系数在0.6—0.7範圍以内，但是，如为横向快速循环，此系数可提高到0.95。此外，当其他条件相同时，横向可逆循环最少可縮短干燥時間20%。

因而，只是在干燥爐內应用快速循环的空气，与自然循环比較，就可能使生产率提高到 $\frac{14}{9}=1.75$ 倍。这已被自然循环干燥爐改建成为强制循环干燥爐的实际例子所証

实。

干燥介质沿堆内材料循环的速度，应不低于1.2米/秒。

根据H.H.格依(乌克兰木材机械加工科学研究所)的数据，当在堆内以 $\omega_{MT}=2.5$ 米/秒的循环速度干燥厚25毫米的松木锯材时，证明在经济上是有利的。因为它与以0.66米/秒的循环速度进行干燥时相比，所需时间缩短了45%（被干材料及使用的干燥基准相同）。

沿炉宽方向有两个木堆时，必须使干燥介质定期逆向流动。如果沿炉宽方向只有一个不宽的（不大于1.8米）木堆，而且干燥介质的循环速度 $\omega_{MT} \geq 1.2$ 秒时，干燥介质作定期逆向流动就不必要了。

必须使木堆各部位在干燥终了时得到均匀的干燥，这就是使干燥介质作逆向流动的目的。用来制造优质商品（例如家具）的木材，其终了含水率要求的均匀度，可按照木材加工公差与配合 roct5387—51、6098—51和6449—53确定。

按照这些国定标准的要求，用于家具毛坯的木材含水率应为8%，允许的变动范围从6%到9%。

根据格依的研究，当木堆总宽度为4米时，炉内材料干燥的不均匀性（用含水率均方偏差 σ 来表示）与介质循环（每八小时倒转一次）速度的相互关系是：当循环速度 ω_{MT} 为1米/秒时， $\sigma = \pm 1.3$ 到1.8%；循环速度 ω_{MT} 为2.5米/秒时， $\sigma = \pm 1\%$ 。

炉内干燥介质的流动，每班倒转一次，也就是说每经八小时倒转一次已足够。因为倒转的次数过多，并无什么好处。这样在周期式干燥炉中，干燥介质沿木堆循环速度等于1.2米/秒以上时，在终了含水率的均匀性方面，即可

保証达到要求的質量。

增加現有干燥爐生产率的另一条件，是在保持爐內干燥介質高湿度的情况下应用高温的干燥基准。

高温干燥基准的应用，意味着已过渡到新的快速的干燥技术。为了保証它的运用，必須为干燥爐的工作創造一定的条件，除了上述的循环速度以外，其中最重要的条件就是：要有需要参数的蒸汽或气体，蒸汽干燥爐的加热器应有足够的加热表面，干燥爐爐壳須密封和很好地絕热，被干燥材料須細心的堆置，以及对干燥过程应进行遙測等。

需要参数的蒸汽和气体 应当保証不间断的用压力不小于三个大气压的饱和蒸汽供給蒸汽干燥爐。

为了充分确定蒸汽压力对于干燥車間工作起什么影响，我們可以看一看，当蒸汽压力变化时由加热器供給的热量是怎样变化的。

干饱和蒸汽的温度随着蒸汽压力的不同依下列方式变化：

蒸汽压力 (大气压)	1	2	3	4	5
蒸汽温度 (°C)	119.6	132.9	142.9	151.1	158.1

每小时从加热器供給爐內的热量 (Q _{vac})	1	2	3	4	5
蒸汽压力 (大气压)	119.6	132.9	142.9	151.1	158.1

公式确定。

$$Q_{vac} = F \cdot K (t_h - t_k) \text{ 大卡/时 } \quad (2)$$

式中：F——加热器的加热表面 (平方米)；
K——热轉移系数 (大卡 / 平方米 小时 度 表 示)，主要决定于加热器的构造和通过加热器的空气循环速度。

t_h——加热器內蒸汽的温度 (度)；

t_k——干燥爐內空气的温度 (度)。

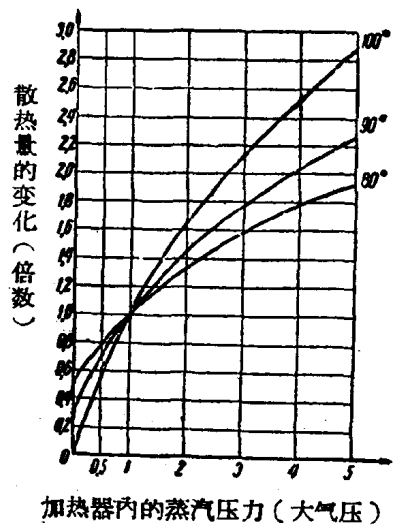


圖2. 根據蒸汽壓力變化的
加熱器散熱表

中蒸汽壓力的意義愈大。例如，當蒸汽壓力由1增加到4大氣壓時，加熱器內散熱量的增加為：當 $t_k = 80^\circ$ 時，為0.78倍，而當 $t_k = 100^\circ$ 時，則為1.55倍。

如果用低壓的蒸汽供給干燥爐，那麼干燥爐的生產率亦將相應的降低；由此可明顯看出：用於干燥爐的蒸汽，其壓力比用於其他方面（例如暖氣）的蒸汽應當大大的增高。

木材干燥車間的全部蒸汽冷凝干線系統，應能在5個氣壓下順利工作，並且應處於總機械師室的特別監督之下，總機械師室需要特別嚴格的遵守預檢修指示圖表。

在許多企業中感到使蒸汽壓力保持在需要程度有困難，他們認為這是由於自己的蒸汽設備能力不足（特別是冬季）所致。但在現場的細心檢查說明：保持蒸汽壓力困

干燥爐採用的F和K值是常數，因此可以說加熱器供給爐內的熱量，決定於 $t_u - t_k$ 的差度。

圖2系根據加熱器中的蒸汽壓力而變化的加熱器散熱圖表。

編制圖表時系假定：當加熱器內之蒸汽壓力等於1大氣壓，而 t_k 為任意值時，每小時散熱量為1。

由圖表中可見，爐內的溫度愈高，提高加熱器中蒸汽壓力的意義愈大。例如，當蒸汽壓力由1增加到4大氣壓時，加熱器內散熱量的增加為：當 $t_k = 80^\circ$ 時，為0.78倍，而當 $t_k = 100^\circ$ 時，則為1.55倍。

难的真实原因，是这些企业沒有采取必要的措施来最大限度的利用蒸汽。

列宁格勒的一个企业，由于整顿了蒸汽管和凝结水管的保温设备，收回了全部凝结水，使其回到锅炉房，并在每个干燥炉内装置了阻汽排水罐，整顿了蒸汽管路上的各种蒸汽阀门，和采用了更熟练的方法来管理干燥炉，结果成功的节约了30%的蒸汽。

阻气排水罐的正常工作具有很重要的意义。不要忘记，它除了可以节约蒸汽以外，还能够形成回水，也就增加加热器内的蒸汽压力。如无阻气排水罐，则蒸汽将由加热器内跑掉。在加热器始端的蒸汽压力等于由蒸汽干线进入的蒸汽压力，而在加热器的末端，蒸汽压力几乎与大气压力差不多。这就意味着如无阻气排水罐则加热器的蒸汽压力，只能平均等于干线蒸汽压力的一半。如上所述，这种情况极易降低加热器的散热量。

应当记住，木材干燥设备需要的热能非常大，每干燥一立方米木材需消耗30—50万大卡的热能，如果在蒸汽由锅炉输入干燥炉时，或在干燥炉本身的工作过程中使热量损失减少 $1/100$ ，那么整个森工系统每年将节约20万卢布。

进入气体干燥炉内的气体温度，在混合室内易于调整到需要的数值，但当炉内缺乏蒸汽湿润系统时，在气体干燥炉的操作上，对湿度进行调整是非常复杂的。

加热器应有足够的加热表面 当蒸汽压力相同时，干燥炉内的温度愈高，则加热器的热效率愈低，同时由于热损失的增加和干燥过程的加速，干燥炉的热量消耗将愈大。为了提高加热器的热效率，必须首先大大增加加热器的热转移系数，其次是增加加热器的加热表面，使其达到

需要的数值。

当干燥爐經過改建并过渡到高温干燥基准时，为了在一般情况下解决关于现有干燥爐加热器的加热表面应增加多少这个問題，特提出以下公式来确定系数 $K_{\text{увели}}$ 。該系数指现有干燥爐加热器的加热表面必須增加的倍数：

$$K_{\text{увели}} = \frac{K_1(t_{1,n} - t_{1,k})}{K_2(t_{2,n} - t_{2,k})} \cdot \left[0.8 \frac{M_{2,\text{рас}}}{M_{1,\text{рас}}} + 0.2 \frac{t_{2,k} - 4}{t_{1,k} - 4} \right]. \quad (3)$$

式中：

K_1 —爐內空气作自然循环时加热器的热轉移系数，以大卡/平方米、小时、度計；

K_2 —爐內空气作强制循环时加热器的热轉移系数，以大卡/平方米、小时、度計；

$t_{1,n}$ —在現有蒸汽压力下，进入干燥爐加热器中的蒸汽的温度，以度計；

$t_{2,n}$ —改建后的干燥爐中，在預定压力下加热器的蒸汽温度，以度計；

$t_{1,k}$ —現有干燥爐中的空气温度，以度計；

$t_{2,k}$ —改建后的干燥爐中預定的空气温度，以度計；

$M_{1,\text{рас}}$ —現有干燥爐中每小时的水分蒸發量；

$M_{2,\text{рас}}$ —改建后的干燥爐中每小时的水分蒸發量；

0.8和0.2—常数，表示蒸發水分时的热量消耗和干燥爐的热量损失的相互关系；这里是为了簡化計算手續而采取的近似常数值；

4—当地的年平均温度；由于在此情况下該温度的誤

差不多，可以采取常数。

公式(3)是大概的，但用来迅速和十分可靠的解决关于改建干燥爐的加热器表面应增加多少倍的問題，已足够令人滿意。

当改装加热器(通常是肋形管)时，如果取速度条件为零的空气，通过加热器的空气循环速度 ω_0 将处在2.5到

3米/秒的范围内，则 $\frac{K_1}{K_2}$ 之比可采用等于0.5。

在其他条件相等时，每小时的水分蒸發量之比

$\frac{M_{2,qac}}{M_{1,qac}}$ 与干燥爐的容积之比 $\frac{E_2}{E_1}$ 成正比，而与干燥周

期之比 $\frac{Z_1}{Z_2}$ 成反比。

因此：

$$\frac{M_{2,qac}}{M_{1,qac}} = \frac{E_2 \cdot Z_1}{E_1 \cdot Z_2}$$

那么方程式(3)可写成以下更方便和簡單的形式：

$$K_{yse} = 0.5 \frac{(t_{1,n} - t_{1,k})}{(t_{2,n} - t_{2,k})} \cdot \left[0.8 \frac{E_2 \cdot Z_1}{E_1 \cdot Z_2} + 0.2 \frac{t_{2,k} - 4}{t_{1,k} - 4} \right] \quad (4)$$

圖3系用来迅速测定 $t_n - t_k$ 差度的圖表，此差度决定于给予的蒸汽压力P的值和爐内空气温度 t_k 。

例：現欲将自然循环干燥爐改建成为横向快速循环干燥爐，如果預定改建后干燥爐的容积增加40%，即 $\frac{E_2}{E_1}$ 等

于1.4；干燥周期縮短为 $\frac{Z_1}{Z_2} = 1.5$ ；蒸汽压力不变，即仍等于3大气压；爐內空气的温度从80°提高到105°；假定加热器的热轉移系数比值 $\frac{K_1}{K_2}$ 采用等于0.5，则加热器的加热表面应增加多少倍？

解：根据圖3，在P等于3大气压和 $t_{1,k}$ 等于80度可以找到：

$$t_{1,n} - t_{1,k} = 63^\circ$$

因为 $t_{2,k}$ 等于105°，故依圖可确定 $t_{2,n} - t_{2,k}$ 之差等于38°。

进一步按照公式(4)可以得出：

$$K_{y_{\text{new}}} = 0.5 \cdot \frac{63}{38} (0.8 \cdot 1.4 \cdot 1.5 + 0.2 \cdot \frac{101}{76}) = 1.62.$$

因此，現有加热器的加热表面必須增加62%。

在上面的典型例子中， $\frac{E_2}{E_1}$ 和 $\frac{Z_1}{Z_2}$ 的数值适合于大多数情况，因为依靠改建而使干燥爐的生产率增加一倍，这是十分現實的問題。如果在改建干

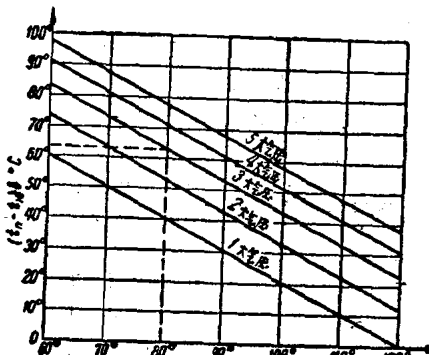


圖3. 决定于干饱和蒸汽压力的 $t_n - t_k$ 差数变化圖表

燥爐时，不变更蒸汽压力，即蒸汽的实际压力較三个大气

压为小时，加热器的加热表面需增加更多的倍数。

例如，当压力 $P_1 - P_2 = 1.5$ 个大气压时， $K_{y_{Bex}}$ 将等于2.14，也就是加热器的加热表面应增加1.14倍。反之，如果在改建干燥爐时相应的增加蒸汽压力，就可以大大减少加热器需要补充的加热表面。例如在前例中，如将压力 P_2 增至5大气压，那么 $K_{y_{Bex}}$ 将等于1.16，即加热器的加热表面仅需增加原来加热表面的16%。

用提高加热器内蒸汽压力达到的效果，也可用在加热管内循环的其他傳热介質來达到，例如用加热到160°以上的油，此时在管內几乎完全沒有剩余压力。民主德国和西德已經有这种設備的使用經驗了。

在上述情况下，由于管內沒有压力，便有可能大量节约用来制作加热器的金属材料（可用薄壁管），并且在干燥爐的操作上也十分安全。

被干材料应堆积得正确 如果說过去应用普通干燥基准和空气作自然循环时，要求非常仔細的堆积被干材料；那么現在应用高温的干燥基准时，就更需要特別严格的进行正确的堆积。

在高温高湿的介質中进行干燥时，木材的可塑性加大了，容易在上層材料的重量作用下發生变形。

当空气作强制循环时，材料露出的端部，水分蒸發得特別激烈，以致有造成端部开裂的危險。因此，虽然没有必要再重复大家所熟知的鋸材堆积規則，但必須強調指出那些基本要求，不执行这些要求，就可能对被干材料的品質發生不良影响。

木堆所有横梁的底面，应当是水平的，横梁的上表面都应在同一个水平面上。

隔条的尺寸和从前的相同（断面 25×40 毫米），但隔条的厚度应严格一致，隔条的上下面都应光。每行隔条上下应严格的堆成一条垂线。隔条之间要求保持的最小距离：25毫米厚的材料为0.6米，厚度在60毫米以上的材料为1.5米。干燥硬闊叶材时，隔条距离应当减少25%。边缘上的隔条应与板端平齐或稍微突出一些。

在堆垛小车上置放毛坯时，端头应密接起来。木堆的上层木板或毛胚，最好用弹簧式松紧装置压紧，以免弯曲。

当空气作横向快速循环时，堆内锯材之间，可以不留空格。

第二节 干燥爐爐壁的密封

要使木材干燥过程强化，干燥爐須改建成为强制循环的型式，并应用高温干燥基准工作。

这样就对爐壁的不透空气和蒸汽以及絕热的性能提出了特別严格的要求。如果干燥爐不严密，空气可以无控制的、自由的排出和吸入，难于保持高的空气湿度，那么即使将現有的干燥爐改建成为新的型式，也沒有什么意义。干燥爐的密封和絕热良好，是利用快速干燥方法获得成效的基础。

属于爐壁的部分有地板、墙壁、天棚和門。

干燥爐的天棚、墙壁和地板的构造 在工业实践中，对于爐壁构造，提出了一定的要求。

地板用混凝土（厚120毫米）作成。表面为厚20毫米的水泥層，其下两層为60毫米厚的碎石層和200毫米厚的砂礫層。地板作成0.01—0.05的坡度。沿墙有小沟，是为